

การวิเคราะห์การเสียງูและความเดันบนใบพัดกังหันไอน้ำ



นางสาวจักษณ์ วิรุฬห์คีรี

สถาบันวิทยบริการ
จุฬาลงกรณ์มหาวิทยาลัย
วิทยานิพนธ์นี้ เป็นส่วนหนึ่งของการศึกษาตามหลักสูตรปริญญาวิศวกรรมศาสตรมหาบัณฑิต
สาขาวิชาชีวกรรมเครื่องกล ภาควิชาชีวกรรมเครื่องกล
บัณฑิตวิทยาลัย จุฬาลงกรณ์มหาวิทยาลัย
ปีการศึกษา 2540
ISBN 974-638-035-4
ลิขสิทธิ์ของบัณฑิตวิทยาลัย จุฬาลงกรณ์มหาวิทยาลัย

DEFORMATION AND STRESS ANALYSIS OF A STEAM TURBINE BLADE

Miss. Juksanee Virulsri

A Thesis Submitted in Partial Fulfillment of the Requirements
for the degree of Master of Engineering in Mechanical Engineering
Department of Mechanical Engineering

Graduated School

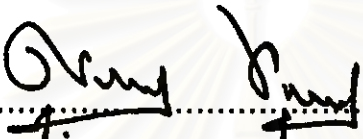
Chulalongkorn University

Academic Year 1997

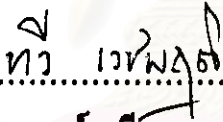
ISBN 974-638-035-4

หัวข้อวิทยานิพนธ์ การวิเคราะห์การเสียรูปและความเด่นบนใบพัดกังหันไอน้ำ
โดย นางสาวจักษณี วิรุพห์ศรี
ภาควิชา วิศวกรรมเครื่องกล
อาจารย์ที่ปรึกษา ศาสตราจารย์ ดร. ปราโมทย์ เดชะอ่ำไฟ

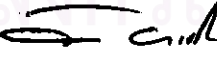
บัณฑิตวิทยาลัย จุฬาลงกรณ์มหาวิทยาลัย อนุมัติให้นับวิทยานิพนธ์ฉบับนี้
เป็นส่วนหนึ่งของการศึกษาตามหลักสูตรปริญญามหาบัณฑิต

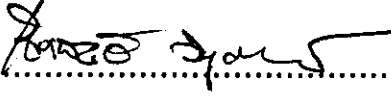
 คณบดีบัณฑิตวิทยาลัย
(ศาสตราจารย์ นายแพทย์ คุกวัฒน์ ชุติวงศ์)

คณะกรรมการสอบบัณฑิตวิทยานิพนธ์

 ประธานกรรมการ
(รองศาสตราจารย์ ทวี เวชพุฒิ)

 อาจารย์ที่ปรึกษา
(ศาสตราจารย์ ดร. ปราโมทย์ เดชะอ่ำไฟ)

 กรรมการ
(รองศาสตราจารย์ ดร. วิทยา ยงเจริญ)

 กรรมการ
(อาจารย์ ดร. เชิดพันธ์ วิทูราภรณ์)

ชื่อเรื่อง : การวิเคราะห์การเสียรูปและความเด่นบนใบพัดกังหันไอน้ำ
(Deformation and Stress Analysis of a Steam Turbine Blade)
อ.ที่ปรึกษา : ศ.ดร. ปราโมทย์ เดชะอ่าไฟ, 153 หน้า. ISBN 974-638-035-4

วิทยานิพนธ์นี้ได้แสดงการประดิษฐ์สมการใหม่ต่ออิเลมเนต์ของบล็อกทางของแข็งอย่างเป็นขั้นเป็นตอน โดยเริ่มจากการวิเคราะห์การเสียรูปของแผ่นวงแหวนยางที่มีการกระจายของอุณหภูมิในแนวรัศมีซึ่งเป็นมูลเหตุให้เกิดมิติ และมีผู้ที่ไม่ต้องการวิเคราะห์การเสียรูปและความเด่นของบล็อกทางของแข็งที่มีความสามารถรอบแกน ไปจนถึงการวิเคราะห์การเสียรูปและความเด่นของบล็อกทางของแข็งในสามมิติที่มีปัจจัยหลักในการนำไปประยุกต์ใช้กับใบพัดกังหันไอน้ำทุกทรงตันทั่วไป ที่ทำงานภายใต้ความดัน อุณหภูมิ และแรงเหวี่ยงรอบตัวเองสูง

สมการใหม่ต่ออิเลมเนต์สำหรับบล็อกทางในหนึ่งมิติ สองมิติ และสามมิติตั้งกางล่าม ได้ประดิษฐ์ขึ้นโดยการประยุกต์ใช้ร่างเมียนวิธีถ่วงน้ำหนักเชิงตัดค้างของกอลลาร์กินกับระบบสมการเชิงอนุพันธ์แสดงความสมดุลของแต่ละบล็อกทาง ตลอดจนได้ประดิษฐ์ใหม่ต่ออิเลมเนต์ไปร่วมกับที่ต้องกันขึ้นรวมทั้งสิ้น สามโปรแกรมที่มีการตรวจสอบความถูกต้องกับบล็อกทางที่มีรูปร่างอย่างง่าย ชี้ส่วนราชการผลผลิตแม่นตรงได้ ก่อนนำไปประยุกต์ใช้กับบล็อกทางที่มีรูปร่างซับซ้อนอย่างขั้น

สถาบันวิทยบริการ จุฬาลงกรณ์มหาวิทยาลัย

ภาควิชา ...วิศวกรรมศาสตร์...
สาขาวิชา ...วิศวกรรมศาสตร์...
ปีการศึกษา ...๒๕๔๐...

ดำเนินชื่อผู้อธิการ ...ผู้อำนวยการ...
ดำเนินชื่ออาจารย์ที่ปรึกษา ...
ดำเนินชื่ออาจารย์ที่ปรึกษาร่วม ...

##C816084 : MAJOR MECHANICAL ENGINEER

KEY WORD: FINITE ELEMENT / THERMAL STRESS / TURBINE BLADE

JUKSANEE VIRULSRI : DEFORMATION AND STRESS ANALYSIS OF
A STEAM TURBINE BLADE. THESIS ADVISOR : PROF. PRAMOTE
DECHAUMPAI, Ph.D. 153 pp. ISBN 974-638-035-4

This thesis present a finite element method of solid problem step by step. Beginning from deformation analysis of annular flat plate with radial temperature variation which is the one dimensional problem, solving two dimensional problem of thermal stress analysis for axisymmetric problem and analyzing thermal stress of three dimensional solid problem which is purposed for steam turbine blade which have solid model and operating under high pressure, temperature and centrifugal force

Finite element equation corresponding to these one dimensional, two dimensional and three dimensional problems were derived from equilibrium equation of each problem by using Galerkin method of weighted residuals and developing three corresponding finite element program computer which were verified by solving academic problems that have exact solutions before applying to solve more complex problems

สถาบันวิทยบริการ จุฬาลงกรณ์มหาวิทยาลัย

ภาควิชา วิศวกรรมศาสตร์
สาขาวิชา วิศวกรรมศาสตร์
ปีการศึกษา 2540

ถ่ายมือชื่อนิสิต รักษา อรุณรัตน์
ถ่ายมือชื่ออาจารย์ที่ปรึกษา ดร. พลเอก ธรรมรงค์
ถ่ายมือชื่ออาจารย์ที่ปรึกษาร่วม



กิจกรรมประกาศ

วิทยานิพนธ์ฉบับนี้สำเร็จสุลังลังได้ ด้วยความช่วยเหลืออย่างดีของศาสตราจารย์ ดร. ปราโมทย์ เดชะอ่าໄ皮 ผู้วิจัยขอกราบขอบพระคุณเป็นอย่างสูงที่ทำให้ได้ให้ทั้งความรู้ คำแนะนำ ตลอดจนคำปรึกษาที่มีคุณค่ายิ่งต่อผู้วิจัยในการนำไปประยุกต์ใช้กับงานวิจัย และการดำเนินชีวิตในอนาคต

ขอกราบขอบพระคุณ รองศาสตราจารย์ ทวี เวชพฤติ ประธานกรรมการ รองศาสตราจารย์ ดร. วิทยา ยงเจริญ และ อาจารย์ ดร. เชิดพันธ์ วิทูราภรณ์ กรรมการ ที่ได้ให้คำแนะนำสำคัญในการศึกษาครั้งนี้ ขอขอบพระคุณ คุณจักษุกริษ พิบูลย์ไหโโรงน ผู้จัดการแผนกเทคนิคการทดสอบ กองทดสอบเครื่องกล การไฟฟ้าฝ่ายผลิตแห่งประเทศไทย ที่ช่วยถ่ายทอดประสบการณ์ และเนื่องจากทุนวิจัยครั้งนี้บางส่วนได้รับมาจากทุนการศึกษา กร-นิรนถ และทุนรัชดาภิเษก รวมทั้งได้รับความช่วยเหลือจากสถาบัน NECTEC ใน การใช้เครื่องคอมพิวเตอร์สมาร์ทโฟนและคุณนพดล อัจฉิมาพร ที่ให้คำแนะนำในการใช้ระบบปฏิบัติการแอนดรอยด์ ขอขอบพระคุณพนักงาน และเพื่อนๆที่ศูนย์คอมพิวเตอร์ คณะวิศวกรรมศาสตร์ จุฬาลงกรณ์มหาวิทยาลัยทุกท่าน ตลอดจนเพื่อนๆและรุ่นพี่ปริญญา โททุกท่าน มา ณ ที่นี้ด้วย

ท้ายสุดนี้ผู้วิจัยขอกราบขอบพระคุณบิดา-มารดา ที่ได้ให้กำลังใจ และให้ความเข้าใจแก่ผู้วิจัยเสมอมา ประโยชน์ ประโยชน์ค่าอันได้ที่ได้รับจากวิทยานิพนธ์ฉบับนี้ ขอขอบ เป็นกตัญญูตามชาตุคุณแต่ บิดา-มารดา พี่สาว ครูอาจารย์ ตลอดจนผู้มีพระคุณทุกท่าน

จักษุ วิรุพน์ศรี

สถาบันวิทยบริการ
จุฬาลงกรณ์มหาวิทยาลัย

สารบัญ

หน้า

บทคัดย่อภาษาไทย	๕
บทคัดย่อภาษาอังกฤษ	๖
กิตติกรรมประกาศ	๗
สารบัญ	๘
สารบัญภาพ	๙
คำอธิบายสัญลักษณ์และคำย่อ	๑๐
บทที่ 1 บทนำ	๑
1.1 ความสำคัญ และความเป็นมาของวิทยานิพนธ์	๑
1.2 วัตถุประสงค์ของวิทยานิพนธ์	๒
1.3 ขอบเขตของวิทยานิพนธ์	๒
1.4 ขั้นตอนดำเนินงานทางวิทยานิพนธ์	๓
1.5 ประโยชน์ที่ได้รับจากวิทยานิพนธ์	๔
บทที่ 2 ทฤษฎีพื้นฐานสำหรับวิเคราะห์ความเด่นในของแข็ง	๕
เนื่องจากอุณหภูมิ (Thermal Stress)	
2.1 สมการเชิงอนุพันธ์ของของแข็งในสามมิติ	๕
2.2 เงื่อนไขขอบเขต (Boundary Conditions)	๑๐
2.3 ขั้นตอนทั่วไปของระเบียบวิธีไฟน์เติลเมนต์	๑๑

หน้า

บทที่ 3 การวิเคราะห์การเสียรูปของแผ่นวงแหวนมาก ที่มีการกระจายของอุณหภูมิในแนวรัศมี	13
3.1 สมการเชิงอนุพันธ์เริ่มต้น	13
3.2 เงื่อนไขขอนเขต	14
3.3 สมการไฟในต์ออลิเมนต์	15
3.4 ลักษณะและรายละเอียดของโปรแกรม	23
3.5 รายละเอียดของโปรแกรม	24
3.6 ลักษณะข้อมูลที่โปรแกรม DISEXACT และ DISLNEAR ต้องการ	24
3.7 ตัวอย่าง	26
บทที่ 4 การวิเคราะห์การเสียรูปและความเดัน สำหรับปัญหาที่มีความสมมาตรรอบแกน	36
4.1 สมการเชิงอนุพันธ์	36
4.2 เงื่อนไขขอนเขต	37
4.3 สมการไฟในต์ออลิเมนต์	38
4.4 ลักษณะและรายละเอียดของโปรแกรม	44
4.5 รายละเอียดของโปรแกรม	46
4.6 ลักษณะข้อมูลที่โปรแกรมต้องการ	46
4.7 ตัวอย่างและการนำไปประยุกต์ใช้	51
บทที่ 5 การวิเคราะห์การเสียรูปและความเดันของใบพัดกังหันไอน้ำ	64
5.1 สมการเชิงอนุพันธ์	64
5.2 เงื่อนไขขอนเขต	64

หน้า

5.3 สมการไฟในต่ออิเล็กตรอนิกส์	65
5.4 ลักษณะและรายละเอียดของโปรแกรม	73
5.5 รายละเอียดของโปรแกรม	75
5.6 ลักษณะข้อมูลที่โปรแกรมต้องการ	75
5.7 ตัวอย่างและการนำไปประยุกต์ใช้	81
บทที่ 6 บทสรุป ปัญหาที่พบ และข้อเสนอแนะ	100
6.1 บทสรุป	100
6.2 ปัญหาที่พบในขณะทำการวิทยานิพนธ์	101
6.3 ข้อเสนอแนะ	102
รายการอ้างอิง	104
ภาคผนวก	106
ภาคผนวก ก. รายละเอียดของโปรแกรม DISEXACT	107
รายละเอียดของโปรแกรม DISLNEAR	112
ภาคผนวก ข. รายละเอียดของโปรแกรม AXISSYM	117
รายละเอียดของโปรแกรม TRANAXIS	131
ภาคผนวก ค. รายละเอียดของโปรแกรม SOLID3D	133
รายละเอียดของโปรแกรม TRAN3D	149
ประวัติผู้วิจัย	153

สารบัญภาพ

	หน้า
รูปที่ 2.1 ความสมดุลของแข็งในสามมิติ	5
รูปที่ 2.2 ความสมดุลของเอลิเมนต์เล็กๆ บริมा�ตร dV ในระบบพิกัดการที่เขียน	6
รูปที่ 2.3 ความสมดุลของเอลิเมนต์เล็กๆ บริมा�ตร dV ในระบบพิกัดทรงกระบอก	8
รูปที่ 3.1 แผ่นวงแหวนบางที่มีการกระจายของอุณหภูมิในแนวรัศมี	13
รูปที่ 3.2 การจัดแบ่งเอลิเมนต์ของแผ่นวงแหวนบางที่มีการกระจายของอุณหภูมิในแนวรัศมี	15
รูปที่ 3.3 รูปแบบไฟในต์เอลิเมนต์และการกระจายของอุณหภูมิเป็นฟังก์ชัน $T = a + b \ln(r)$	16
รูปที่ 3.4 รูปแบบไฟในต์เอลิเมนต์และการกระจายของอุณหภูมิเป็นฟังก์ชันเส้นตรง	20
รูปที่ 3.5 แผนภูมิการทำงานของโปรแกรมคอมพิวเตอร์ DISEXACT และ DISLNEAR	24
รูปที่ 3.6 การจัดแบ่งเอลิเมนต์ และลักษณะการกระจายของอุณหภูมิภายในเอลิเมนต์ของโปรแกรม DISEXACT	28
รูปที่ 3.7 ข้อมูลในไฟล์ชื่อ DISK1.DAT	28
รูปที่ 3.8 ลักษณะผลลัพธ์ในไฟล์ EXACT1.OUT	29
รูปที่ 3.9 การเปรียบเทียบค่าการเคลื่อนตัวในแนวรัศมีระหว่างผลเฉลยแม่นตรง กับผลเฉลยที่ได้จากโปรแกรม DISEXACT เมื่อมีการจัดแบ่งแนวรัศมีออกเป็น 7 เอลิเมนต์ และ 8 จุดต่อ	30
รูปที่ 3.10 ข้อมูลในไฟล์ชื่อ DISK2.DAT	30
รูปที่ 3.11 ลักษณะผลลัพธ์ในไฟล์ EXACT2.OUT	31

รูปที่ 3.12 การเปรียบเทียบค่าการเคลื่อนตัวในแนวรัศมีระหว่างผลเฉลยแม่นตรง กับผลเฉลยที่ได้จากโปรแกรม DISEXACT เมื่อมีการจัดแบ่งแนวรัศมีออกเป็น 1 เอลิเมนต์ และ 2 ชุดต่อ	31
รูปที่ 3.13 การจัดแบ่งเอลิเมนต์ และลักษณะการกระจายของอุณหภูมิภายในเอลิเมนต์ของโปรแกรม DISLINEAR	32
รูปที่ 3.14 ลักษณะผลลัพธ์ในไฟล์ LINEAR1.OUT	33
รูปที่ 3.15 การเปรียบเทียบค่าการเคลื่อนตัวในแนวรัศมีระหว่างผลเฉลยแม่นตรง กับผลเฉลยที่ได้จากโปรแกรม DISNEAR เมื่อมีการจัดแบ่งแนวรัศมีออกเป็น 7 เอลิเมนต์ และ 8 ชุดต่อ	33
รูปที่ 3.16 ลักษณะผลลัพธ์ในไฟล์ LINEAR2.OUT	34
รูปที่ 3.17 การเปรียบเทียบค่าการเคลื่อนตัวในแนวรัศมีระหว่างผลเฉลยแม่นตรง กับผลเฉลยที่ได้จากโปรแกรม DISNEAR เมื่อมีการจัดแบ่งแนวรัศมีออกเป็น 1 เอลิเมนต์ และ 2 ชุดต่อ	34
รูปที่ 4.1 ตัวอย่างปัญหาที่มีความสามารถรอบแกนในระบบพิกัดทรงกระบอก	36
รูปที่ 4.2 รูปแบบไฟล์ในต่อเอลิเมนต์และเงื่อนไขข้อมูลของปัญหา ที่มีความสามารถรอบแกน	37
รูปที่ 4.3 แผนภูมิการทำงานของโปรแกรมคอมพิวเตอร์ AXISSYM	45
รูปที่ 4.4 รูปแบบของไฟล์ข้อมูลตัวอย่างที่โปรแกรม AXISSYM ต้องการ	50
รูปที่ 4.5 รูปแบบของไฟล์ผลลัพธ์ตัวอย่างที่ได้จากการคำนวณด้วย โปรแกรม AXISSYM	51
รูปที่ 4.6 รูปแบบของไฟล์ผลลัพธ์ตัวอย่างที่ได้จากโปรแกรมแปลงข้อมูล TRANAXIS และอยู่ในรูปแบบที่โปรแกรม NASTRAN ต้องการ	51
รูปที่ 4.7 แผ่นกROMตันบางภายใต้แรงเหวี่ยงรอบตัวเองด้วยอัตราเร็วเชิงมุมคงที่ ω rad/s	52
รูปที่ 4.8 การจัดแบ่งเอลิเมนต์ของแผ่นกROMตันบางในรูปที่ 4.4	53
รูปที่ 4.9 การเปรียบเทียบการเคลื่อนตัวในแนวรัศมี ระหว่างผลเฉลยแม่นตรง และ ผลเฉลยที่ได้จากการเบี่ยงบวชไฟล์ในต่อเอลิเมนต์ ของปัญหาของแผ่นกROM ตันบางภายใต้แรงเหวี่ยงรอบตัวเองด้วยอัตราเร็วเชิงมุมคงที่	54

รูปที่ 4.10 การเปรียบเทียบความเค้นในแนวสัมผัส ระหว่างผลเฉลยแม่นตรง และผลเฉลยที่ได้จากการเบี่ยบวิธีไฟฟ์อินต์ເອລີມັນຕໍ ของปัญหาของแผ่นกลมดันบางภายใต้แรงเหวี่ยงรอบตัวเองด้วยอัตราเร็วเชิงมุมคงที่	55
รูปที่ 4.11 การเปรียบเทียบความเค้นในแนวรัศมี ระหว่างผลเฉลยแม่นตรง และผลเฉลยที่ได้จากการเบี่ยบวิธีไฟฟ์อินต์ເອລີມັນຕໍ ของปัญหาของแผ่นกลมดันบางภายใต้แรงเหวี่ยงรอบตัวเองด้วยอัตราเร็วเชิงมุมคงที่	55
รูปที่ 4.12 แผ่นวงแหวนบางภายใต้ความดันภายใน p_i และความดันภายนอก p_o	56
รูปที่ 4.13 การจัดแบ่งເອລີມັນຕໍ ของแผ่นวงแหวนบางในรูปที่ 4.12	57
รูปที่ 4.14 การเปรียบเทียบการเคลื่อนตัวในแนวรัศมีระหว่างผลเฉลยแม่นตรง และผลเฉลยที่ได้จากการเบี่ยบวิธีไฟฟ์อินต์ເອລີມັນຕໍ ของปัญหาของแผ่นวงแหวนบางภายใต้ความดันภายใน p_i และความดันภายนอก p_o	58
รูปที่ 4.15 การเปรียบเทียบความเค้นในแนวสัมผัสระหว่างผลเฉลยแม่นตรง และผลเฉลยที่ได้จากการเบี่ยบวิธีไฟฟ์อินต์ເອລີມັນຕໍ ของปัญหาของแผ่นวงแหวนบางภายใต้ความดันภายใน p_i และความดันภายนอก p_o	58
รูปที่ 4.16 การเปรียบเทียบความเค้นในแนวรัศมีระหว่างผลเฉลยแม่นตรง และผลเฉลยที่ได้จากการเบี่ยบวิธีไฟฟ์อินต์ເອລີມັນຕໍ ของปัญหาของแผ่นวงแหวนบางภายใต้ความดันภายใน p_i และความดันภายนอก p_o	59
รูปที่ 4.17 แบบจำลองของ Turbine Casing ซึ่งรับแรงเหวี่ยงรอบตัวเองด้วยอัตราเร็วเชิงมุมคงที่ภายใต้ความดันภายใน p_i และความดันภายนอก p_o และอุณหภูมิ	59
รูปที่ 4.18 วิธีการคำนวณ [Ugural, A. C. and Fenster, S. K., 1977] ของปัญหาที่มีความสมมาตรรอบแกน	61
รูปที่ 4.19 การจัดแบ่งເອລີມັນຕໍ ของ Turbine Casing ในรูปที่ 4.17	62
รูปที่ 4.20 ลักษณะการกระจายของความเค้นแบบ Von Mises, MN/m ² และการเคลื่อนตัวที่เกิดขึ้นบน Turbine Casing ในรูปที่ 4.17	63
รูปที่ 5.1 รูปแบบไฟฟ์อินต์ເອລີມັນຕໍ และเงื่อนไขข้อบ่งชี้ของปัญหาของแข็งยืดหยุ่นได้ในสามมิติ	65

รูปที่ 5.2	ลักษณะของเอลิเมนต์ทรงสี่เหลี่ยม ซึ่งใช้ในปัญหาของแข็งยืดหยุ่นได้ในสามมิติ	65
รูปที่ 5.3	แผนภูมิการทำงานของโปรแกรมคอมพิวเตอร์ SOLID3D	74
รูปที่ 5.4	ไฟล์ข้อมูลตัวอย่างที่โปรแกรม SOLID3D ต้องการ	79
รูปที่ 5.5	ไฟล์ผลลัพธ์ตัวอย่างที่ได้จากการคำนวณด้วยโปรแกรม SOLID3D	80
รูปที่ 5.6	ไฟล์แสดงผลลัพธ์ตัวอย่างจากการคำนวณด้วยโปรแกรม TRAN3D และอยู่ในรูปแบบที่โปรแกรม NASTRAN ต้องการนำไปแสดงผลกราฟฟิก	81
รูปที่ 5.7	ก้อนสีเหลี่ยมถูกばかりมีอุณหภูมิเท่ากันทั้งก้อน	82
รูปที่ 5.8	ใบพัดกังหันไอน้ำ	83
รูปที่ 5.9	การจัดแบ่งเอลิเมนต์ของใบพัดกังหันไอน้ำในรูปที่ 5.4	84
รูปที่ 5.10	ใบพัดกังหันไอน้ำภายใต้ความดัน ρ กระทำตั้งฉากกับผิวด้านหน้าของใบพัด	84
รูปที่ 5.11	ลักษณะการกระจายของความเค้นแบบ Von Mises, MN/m ² และการเสียบูรณาการที่เกิดขึ้นบนใบพัดกังหันไอน้ำ ภายใต้ความดัน (จากรูปที่ 5.10)	85
รูปที่ 5.12	ใบพัดกังหันไอน้ำ ภายใต้แรงเหวี่ยงรอบตัวเองด้วยความเร็วเชิงมุมคงที่	86
รูปที่ 5.13	ลักษณะการกระจายความเค้นแบบ Von Mises, MN/m ² และการเสียบูรณาการที่เกิดขึ้นบนใบพัดกังหันไอน้ำ ภายใต้แรงเหวี่ยงรอบตัวเองด้วยความเร็วเชิงมุมคงที่ ซึ่งแสดงในรูปที่ 5.12	86
รูปที่ 5.14	ใบพัดกังหันไอน้ำ ภายใต้อุณหภูมิซึ่งแบร์ผันตามแกน x	87
รูปที่ 5.15	ลักษณะการกระจายความเค้นแบบ Von Mises, MN/m ² และการเสียบูรณาการที่เกิดขึ้นบนใบพัดกังหันไอน้ำ ภายใต้อุณหภูมิซึ่งแบร์ผันตามแกน x ตั้งแต่ในรูปที่ 5.14	88
รูปที่ 5.16	ลักษณะการกระจายของความเค้นแบบ Von Mises, MN/m ² และการเสียบูรณาการที่เกิดขึ้นบนใบพัดกังหันไอน้ำ เมื่อทำงานภายใต้สภาวะร่วมกันระหว่างความดันคงที่ รูปที่ 5.10 อัตราเร็วเชิงมุมคงที่ 5.12 และ อุณหภูมิซึ่งแบร์ผันตามแกน x รูปที่ 5.14	89

	หน้า
รูปที่ 5.17 ในพัตก้าชเทอร์ใบน์	90
รูปที่ 5.18 การจัดแบ่งเอลิเมนต์ของในพัตก้าชเทอร์ใบน์ในรูปที่ 5.17	91
รูปที่ 5.19 ในพัตก้าชเทอร์ใบน์ภายใต้ความดันตึงจากกันผิวน้ำ ซึ่งแบร์ผันตามแกน z	91
รูปที่ 5.20 ลักษณะการกระจายของความเค้นแบบ Von Mises, MN/m ² และ ² การเสียรูปที่เกิดขึ้นกับในพัตก้าชเทอร์ใบน์ ภายใต้ความดัน ² แบบแบร์ผันตามแกน z ดังแสดงในรูปที่ 5.19	92
รูปที่ 5.21 ในพัตก้าชเทอร์ใบน์ภายใต้ความเร็วเชิงมุมคงที่ รอบแกน z	93
รูปที่ 5.22 ลักษณะการกระจายของความเค้นแบบ Von Mises, MN/m ² และ ² การเสียรูปที่เกิดขึ้นกับในพัตก้าชเทอร์ใบน์ ภายใต้ความเร็วเชิงมุมคงที่ รอบแกน z ดังแสดงในรูปที่ 5.21	93
รูปที่ 5.23 ในพัตก้าชเทอร์ใบน์ภายใต้อุณหภูมิซึ่งแบร์ผันตามแกน x และแกน z	94
รูปที่ 5.24 ลักษณะการกระจายของความเค้นในแนวแกน x , MN/m ² และ ² การเสียรูปที่เกิดขึ้นกับในพัตก้าชเทอร์ใบน์ ภายใต้อุณหภูมิ ซึ่งแบร์ผันตามแกน x และแกน z ดังแสดงในรูปที่ 5.23	95
รูปที่ 5.25 ลักษณะการกระจายของความเค้นในแนวแกน y , MN/m ² และ ² การเสียรูปที่เกิดขึ้นกับในพัตก้าชเทอร์ใบน์ ภายใต้อุณหภูมิ ซึ่งแบร์ผันตามแกน x และแกน z ดังแสดงในรูปที่ 5.23	95
รูปที่ 5.26 ลักษณะการกระจายของความเค้นในแนวแกน z , MN/m ² และ ² การเสียรูปที่เกิดขึ้นกับในพัตก้าชเทอร์ใบน์ ภายใต้อุณหภูมิ ซึ่งแบร์ผันตามแกน x และแกน z ดังแสดงในรูปที่ 5.23	96
รูปที่ 5.27 ลักษณะการกระจายของความเค้นแบบ Von Mises , MN/m ² และ ² การเสียรูปที่เกิดขึ้นกับในพัตก้าชเทอร์ใบน์ ภายใต้อุณหภูมิ ซึ่งแบร์ผันตามแกน x และแกน z ดังแสดงในรูปที่ 5.23	96
รูปที่ 5.28 ลักษณะการกระจายของความเค้นแบบ Von Mises , MN/m ² และ ² การเสียรูปที่เกิดขึ้นกับในพัตก้าชเทอร์ใบน์ เมื่อทำงานภายใต้สภาวะ ร่วมกันระหว่างความดันคงที่ รูปที่ 5.19 อัตราเร็วเชิงมุมคงที่ รูปที่ 5.21 และอุณหภูมิซึ่งแบร์ผันตามแกน x และแกน z รูปที่ 5.23	98

คำอธิบายสัญลักษณ์

f	แรงวัตถุ
k	ค่าสมมุติที่การนำความร้อน
ก	เวกเตอร์ดังจากกันพื้นผิว
p	ความดัน
r	ระยะในแนวรัศมี
u(r)	ระยะเคลื่อนตัวในแนวรัศมี
u(x)	ระยะเคลื่อนตัวในแนวแกน x
v	ระยะเคลื่อนตัวในแนวแกน y
w	ระยะเคลื่อนตัวในแนวแกน z
x	ระยะในแนวแกน x
y	ระยะในแนวแกน y
z	ระยะในแนวแกน z
A	พื้นที่
[B]	เมตริกซ์ของความเครียดกับการเคลื่อนตัว
[C]	เมตริกซ์ของความเค้นกับความเครียด
E	ค่าคงที่ของความยืดหยุ่น
N	ฟังก์ชันการประมาณภายในสำหรับการเคลื่อนตัว
[N]	เมตริกซ์ของฟังก์ชันการประมาณภายในเอกสารเมนต์สำหรับการเคลื่อนตัว
R	ค่าเศษตกค้างในระเบียบวิธีถ่วงน้ำหนักเศษตกค้างของกัลเลอร์คิน
T	เวกเตอร์ของความเค้นที่ผิว

T	อุณหภูมิ
T_0	อุณหภูมิที่วัสดุนั้นไม่มีความเค้น
V	ปริมาตร
Ω	ขอบเขตของปริมาตร
Γ	ขอบเขตของพื้นผิว
ρ	ความหนาแน่นของวัสดุ
θ	มุมในระบบพิกัดทรงกระบอก
v	อัตราส่วนปั๊สซิ่ง
α	ค่าสัมประสิทธิ์การขยายตัวทางความร้อน
ψ	อัตราเร็วเชิงมุมรอบแกน z
σ	ความเค้นในแนวตั้งจาก
τ	ความเค้นเฉือน
ϵ	ความเครียดในแนวตั้งจาก
γ	ความเครียดเฉือน

สถาบันวิทยบริการ จุฬาลงกรณ์มหาวิทยาลัย